メタクリル酸とメタクリル酸ジメチルアミノエチルを 2 段階グラフト重 合したポリエチレン板による六価クロムイオンの吸着除去

日大生産工(院) 〇矢部 昭彦 日大生産工 山田 和典 木村 悠二 朝本 紘充 南澤 宏明

緒論

六価クロム(Cr(VI))イオンは顔料や塗料など 多くの産業で用いられる一方,強い酸化力を有 し発がん性物質であるので[1]、その除去が求 められている. Cr(VI)の除去法として操作が比 較的容易で, 高い除去効果が期待できる点から 吸着法を選んだ. Cr(VI)は酸性溶液中でアニオ ン種として存在するので, 既往の研究でメタク リル酸-2-ジメチルアミノエチル(DMAEMA)を 光グラフト重合したポリエチレン(PE-g-PDMAEMA)板がCr(VI)イオンの吸着に有効に 利用できることを明らかとしている[2]. さら に、PE板とPDMAEMAグラフト層の間にポリ メタクリル酸-2-ヒドロキシエチル[3]やポリメ タクリルアミドの中間グラフト層を導入する ことで、Cr(VI)イオンの吸着量を上昇すること を明らかとした. 本研究では、メタクリル酸 (MAA)がPE板にグラフト重合しやすいことと MAAグラフト化PE板が他の親水性モノマーを グラフトしたPE板に比べて高い含水性を示す ことに着目し, MAAとDMAEMAを二段階グラ フト重合したPE((PE-g-PMAA)-g-PDMAEMA) 板のCr(VI)イオンの平衡吸着量および吸着初 速度からグラフト量依存性を評価する.

実験方法

<二段階光グラフト重合>

濃度0.5w/v%のベンゾフェノン(BP)アセトン 溶液を用いてBPを塗布したPEを1.0 MのMAA 水溶液中に浸漬し,60℃で紫外線を照射することPE板にMAAを光グラフト重合した.

PE-g-PMAA板にBP溶液を塗布した後, 濃塩酸でpHを8.0に調整した1.0MのDMAEMA溶液に浸漬し, 上記と同様の操作でDMAEMAを光グラフト重合した.

<XPSによる表面測定>

X線光電子分光分析装置(XPS)を用い、C1s、O1s およびN1s スペクトルからPMAAとPDMAEMAグラフト層の形成を確認した。 <含水量測定>

30°Cで(PE-g-PMAA)-g-PDMAEMA板を純水

に浸漬し,膨潤前後の重量変化から含水量を算出した.

<Cr(VI)吸着>

(PE-g-PMAA)-g-PDMAEMA板を30℃, pH3.0 で濃度0.20mMのK2Cr2O7水溶液に浸漬し, 波長338.2nmでの吸光度から吸着量を算出した.

実験結果および考察

グラフト量20, 40, 60 及び80µmol/cm²のPE-g-PMAA板を調製し、これにDMAEMAをグラフト重合した.PE、PE-g-PMAA(G_{MAA}=80 µmol/cm²)および(PE-g-PMAA)-g-PDMAEMA(G_{MAA}=80µmol/cm², G_{DMAEMA}=12µmol/cm²)板のCls, OlsおよびNlsスペクトルを図1に示す.PE-g-PMAA板ではカルボキシル基に由来する289eVのピークが観察され、さらにDMAEMAをグラフト重合すると、さらにNlsピークが観察されたことから、PE-g-PMAA板にDMAEMAがグラフト重合したことを確認した.

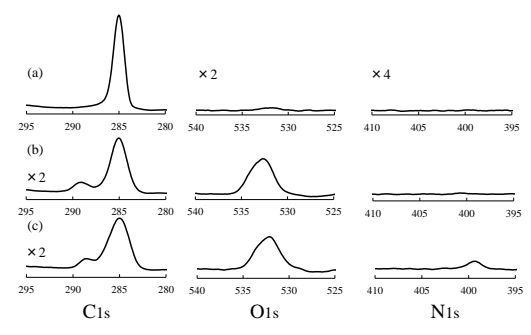


Figure 1 The XPS high-resolution spectra of C_{1s} , O_{1s} , and N_{1S} for (a) PE, (b) PE-g-PMAA and (c) (PE-g-PMAA)-g-PDMAEMA plates.

(PE-g-PMAA)-g-PDMAEMA 板の DMAEMA グラフト量に対する含水量の変化を図2に示す. DMAEMAグラフト量が約4~5μmol/cm²以上になると、含水量が急激に上昇し、MAAグラフト量が多いほど、高い含水量が得られたことから、膨潤状態においてグラフト層内でPDMAEMAグラフト鎖は高い運動性をもつと考えられる.

DMAEMAグラフト量に対する吸着容量の変化をグラフト化板1g当たりとして図3(a)に,

Adsorptive removal of hexavalent chromium ions by polyethylene plates grafted with methacrylic acid and dimethylamionethyl methacrylate in two-step procedure

Akihiko YABE , Kazunori YAMADA , Yuji KIMURA , Hiromichi ASAMOTO and Hiroaki MINAMISAWA

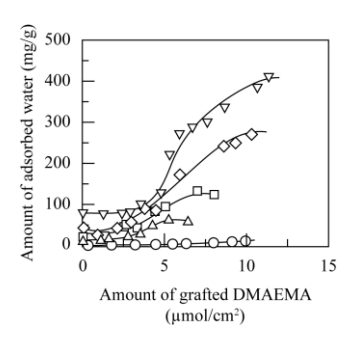


Figure 2 Changes in the amount of absorbed water with the amount of grafted DMAEMA for the PE-g-PDMAEMA (\bigcirc) and (PE-g-PMAA)-g-PDMAEMA plates with G_{MAA} of 20 (\triangle), 40 (\square), 60 (\diamondsuit), and 80 (∇) μ mol/cm².

PDMAEMAグラフト量1g当たりとして図3(b) に示す、図3(a)より吸着容量はDMAEMAグラ フト量の増加とともに増加し、DMAEMAグラ フト量が一定であってもMAAグラフト量が多 いほど高い吸着容量を示した. これは、PMAA グラフト層はCr(VI)イオンの吸着には関与し ないが、中間グラフト層として導入することで 図2に示したようにグラフト層全体の含水性が 向上し、PDMAEMAグラフト鎖によるCr(VI)イ オン吸着が起こりやすくなったことを示す. ま た,図3(b)に示すように、PDMAEMAグラフト 量1g当たりとして吸着容量を表すと、 DMAEMAグラフト量に対して最大値を示し, MAAグラフト量が高いほど最大値は高い値を 示した. 最大値を示したG_{MAA}=80µmol/cm², G_{DMAEMA}=4.6µmol/cm² \mathcal{O} (PE-g-PMAA)-g-PDMAEMA板での吸着容量は結合比=0.483に 相当し、グラフト鎖中のジメチルアミノ基の 48.3%がCr(VI)イオンの吸着に関与しているこ とを示す. この値はPE-g-PDMAEMA板で得ら れた最大値の2.48倍であり、PMAAグラフト層 の導入がCr(VI)イオンの吸着の向上に有効に 作用したことを示す.

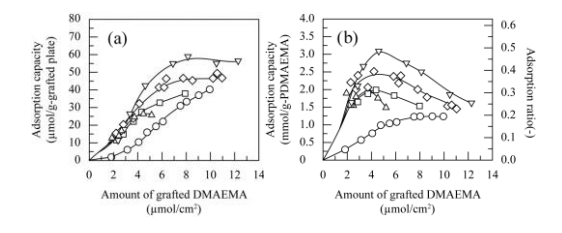


Figure 3 Charges in the adsorption capacity in (a) µmol/g-grafted plate and (b) mmol/g-PDMAEMA with the amount of grafted DMAEMA for adsorption of Cr(VI) ions on PE-g-PDMAEMA (\bigcirc) and (PE-g-PMAA)-g-PDMAEMA plates with G_{MAA} of 20 (\triangle), 40 (\square), 60 (\diamondsuit), and 80 (∇) µmol/cm² in a 0.20 mM K₂Cr₂O₇ solution at pH 3.0 and 30°C.

次に、初期段階での浸漬時間に対する吸着量の増加に対する関係から吸着初速度を計算し、 DMAEMAグラフト量に対する関係を**図4**に示す、吸着初速度はDMAEMAグラフト量の増加 とともに上昇し、またMAAグラフト量が多いほど高い値を示した。しかし、高DMAEMAグラフト量では、グラフト層内部に位置するプロトン化したジメチルアミノ基も吸着に関与するため、吸着初速度が低下したと考えられる。しかし、図3と4を比較すると、 $G_{MAA}=80$ $\mu mol/cm^2$ の(PE-g-PMAA)-g-PDMAEMA板では $G_{DMAEMA}=4\sim5\mu mol/cm^2$ で、高い初速度で高い吸着容量を得ることがわかり、PMAA中間グラフト層の形成がCr(VI)イオン吸着を増加させる上で有効な手段であると考察できる。

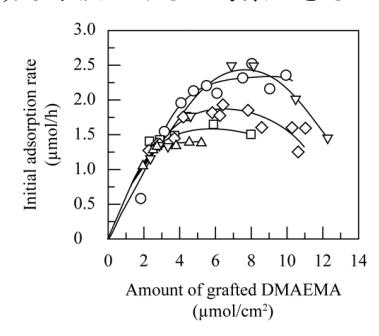


Figure 4 Changes in the initial adsorption rate with the amount of grafted DMAEMA for adsorption of Cr(VI) ions on PE-g-PDMAEMA (\bigcirc) and (PE-g-PMAA)-g-PDMAEMA plates with G_{MAA} of 20 (\triangle), 40 (\square), 60 (\diamondsuit), and 80 (∇) µmol/cm² in a 0.20 mM $K_2Cr_2O_7$ solution at pH 3.0 and 30°C.

結論

PMAAグラフト層を中間グラフト層として 導入することでグラフト層全体の含水性が向 上し、PDMAEMAグラフト鎖によるCr(VI)イオン吸着が起こりやすくなりDMAEMAグラフト量が多いは 屋が一定であってもMAAグラフト量が多いは ど高い吸着容量を示した。また、吸着容量の最 大値を示した G_{MAA} = 80μ mol/cm²、 G_{DMAEMA} =4.6 μ mol/cm²の(PE-g-PMAA)-g-PDMAEMA 板での 吸着容量は結合比=0.483に相当し、PE-g-PDMAEMA 板で得られた最大値の2.48倍であり、PMAAグラフト層の導入がCr(VI)イオンの 吸着の向上に有効に作用した。また初速度は MAAグラフト量が多いほど高い値を示した。

参考文献

- [1] D. Mohan, C. U. Pittman Jr., *J. Hazard. Mater.*, B137, 762-811 (2006).
- [2] H. Asamoto, Y. Kimura, Y. Ishiguro, H. Minamisawa, K. Yamada, *J. Appl. Polym. Sci.*, **133**, DOI:10.1002/app.43360 (2016).
- [3] K. Yamada, Y. Ishiguro, Y. Kimura, H. Asamoto, H. Minamisawa, *Environ. Technol.*, **40**, 855-869 (2019).